

# АТОМНО-ВАКАНСИОННОЕ УПОРЯДОЧЕНИЕ НИЗШЕГО КАРБИДА ВОЛЬФРАМА $W_2C$

*A. С. Курлов, А. И. Гусев\**

*Институт химии твердого тела Уральского отделения Российской академии наук  
620041, Екатеринбург, Россия*

Поступила в редакцию 27 апреля 2007 г.

Методами нейтронографии и рентгеновской дифракции изучено атомно-вакансационное упорядочение низшего карбиды вольфрама  $W_2C$  с базисной гексагональной структурой типа  $L'3$ . Показано, что в интервале температур примерно от 2700 до 1370 К единственной упорядоченной фазой низшего карбиды вольфрама является тригональная (пространственная группа  $P\bar{3}1m$ ) фаза  $\varepsilon$ - $W_2C$ . Установлено, что тригональная фаза  $\varepsilon$ - $W_2C$  образуется по каналу фазового перехода беспорядок–порядок, включающему три сверхструктурных вектора  $k_{15}^{(1)}$ ,  $k_{15}^{(2)}$  и  $k_{17}^{(1)}$  двух лифшицевских звезд  $\{k_{15}\}$  и  $\{k_{17}\}$ , и описывается двумя параметрами дальнего порядка  $\eta_{15}$  и  $\eta_{17}$ . Рассчитана функция распределения атомов углерода в тригональной сверхструктуре  $\varepsilon$ - $W_2C$ , найдена соответствующая ей область допустимых значений параметров дальнего порядка  $\eta_{15}$  и  $\eta_{17}$ . Проведен симметрийный анализ других возможных сверхструктур низшего карбиды вольфрама  $W_2C$  и определена физически допустимая последовательность фазовых превращений в  $W_2C$ .

PACS: 61.50.Ks, 61.66.Fn, 64.70.Kb, 81.30.-t

## 1. ВВЕДЕНИЕ

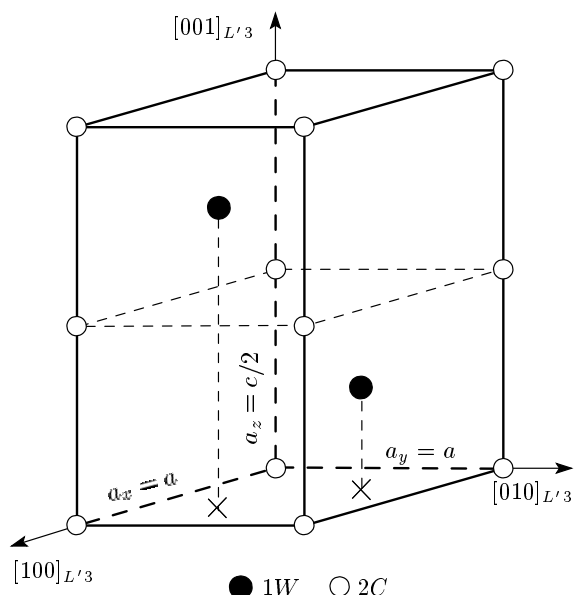
Карбиды  $MC_y$  и  $M_2C_y$  переходных  $d$ -металлов IV–VI групп являются сильно нестехиометрическими соединениями внедрения [1, 2] и интересны как удобные модельные объекты для исследования взаимосвязи нестехиометрии и упорядочения. Изучение именно карбидов открыло увлекательные перспективы модификации структуры и свойств сильно нестехиометрических соединений с помощью упорядочения. В карбидах атомы углерода размещаются в октаэдрических междоузлиях металлической подрешетки. Незаполненные междоузлия называют структурными вакансиями  $\square$ . Ваканси и атомы углерода образуют в неметаллической подрешетке раствор замещения. Распределение атомов С и вакансий  $\square$  по узлам решетки может быть неупорядоченным или упорядоченным. Если упорядочение высших кубических карбидов  $MC_y$  изучено достаточно детально [1–4], то упорядочение низших карбидов  $M_2C_y$  ( $0.7 < y \leq 1.0$ ), имеющих гексагональную структуру, изучено гораздо меньше. Среди гексаго-

нальных карбидов наименее изучен низший карбид вольфрама  $W_2C_y$ .

Низший карбид вольфрама  $W_2C_y$  входит в группу сильно нестехиометрических соединений внедрения [1, 2] и при температуре около 3000 К имеет область гомогенности от  $WC_{0.34}$  до  $WC_{0.52}$  [5]. При понижении температуры ширина области гомогенности уменьшается. В литературе упоминаются четыре модификации низшего карбиды вольфрама  $W_2C_y$ . Во всех модификациях карбиды  $W_2C_y$  атомы вольфрама образуют гексагональную плотноупакованную металлическую подрешетку, в которой от 34 % до 52 % октаэдрических междоузлий может быть занято атомами углерода С. В зависимости от того, как распределены атомы С и ваканси  $\square$ , низший карбид  $W_2C_y$  может быть неупорядоченным при высокой температуре или упорядоченным при низкой температуре. Последовательность фазовых превращений в низшем карбиде вольфрама  $W_2C_y$  до сих пор не установлена.

Высокотемпературная фаза  $\beta$ - $W_2C$  имеет гексагональную (пространственная группа  $P\bar{6}_3/mmc$  ( $D_{6h}^4$ )) структуру типа  $L'3$  (рис. 1) с неупорядоченным размещением атомов углерода С и структур-

\*E-mail: gusev@ihim.uran.ru



**Рис. 1.** Элементарная ячейка базисной неупорядоченной гексагональной (пространственная группа  $P6_3/mmc$ ) фазы  $\beta\text{-W}_2\text{C}$  низшего карбида вольфрама со структурой типа  $L'3$  (периоды элементарной ячейки в направлениях  $[100]_{L'3}$  и  $[010]_{L'3}$  равны  $a$ , в направлении  $[001]_{L'3}$  период элементарной ячейки равен  $c$ ). Примитивная (по неметаллической подрешетке) ячейка выделена штриховыми линиями, периоды  $a_x$  и  $a_y$  примитивной ячейки совпадают с соответствующими периодами элементарной ячейки, а период  $a_z$  примитивной ячейки в направлении  $[001]_{L'3}$  вдвое меньше, чем период  $c$  элементарной ячейки, т. е.  $a_z = c/2$ : 1 — атомы вольфрама, 2 — узлы неметаллической подрешетки, статистически (с вероятностью 1/2) занятые атомами углерода

ных вакансий  $\square$  в неметаллической подрешетке. В нейтронографическом исследовании [6] неупорядоченный карбид  $\beta\text{-W}_2\text{C}$  наблюдался вместе с упорядоченной фазой этого карбида.

В литературе есть сведения о трех упорядоченных фазах карбида  $\text{W}_2\text{C}$ : орторомбической  $\beta'\text{-W}_2\text{C}$  (пространственная группа № 60 —  $Pbcn$  ( $D_{2h}^{14}$ )) со структурой  $\zeta\text{-Fe}_2\text{N}$  ( $\text{Mo}_2\text{C}$ ), ромбоэдрической  $\beta''\text{-W}_2\text{C}$  ( $\alpha\text{-W}_2\text{C}$ ) (пространственная группа № 164 —  $P\bar{3}m1$  ( $D_{3d}^3$ )) со структурой С6 (анти- $\text{CdI}_2$ ) и тригональной  $\varepsilon\text{-W}_2\text{C}$  (пространственная группа № 162 —  $P\bar{3}1m$  ( $D_{3d}^1$ )) со структурой  $\varepsilon\text{-Fe}_2\text{N}$ . Иногда орторомбический карбид  $\beta'\text{-W}_2\text{C}$  обозначается как  $\zeta\text{-W}_2\text{C}$ . В одних работах структура упорядоченных фаз низшего карбида вольфрама определялась методом рентгеновской дифракции на порошкообразных образцах, другие исследования выполнены

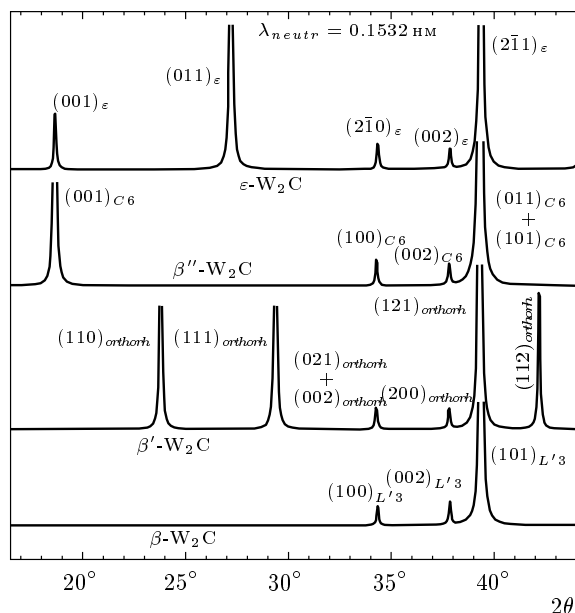
методом структурной нейтронографии. В связи с этим отметим возможности каждого метода применительно к карбиду вольфрама  $\text{W}_2\text{C}$ .

В порошковом рентгеновском дифракционном эксперименте модификации  $\beta\text{-W}_2\text{C}$ ,  $\beta'\text{-W}_2\text{C}$  ( $\zeta\text{-W}_2\text{C}$ ),  $\beta''\text{-W}_2\text{C}$  ( $\alpha\text{-W}_2\text{C}$ ) и  $\varepsilon\text{-W}_2\text{C}$  низшего карбида вольфрама практически неразличимы, поскольку имеют одинаковую гексагональную металлическую подрешетку, а рассеивающая способность атомов W во много раз больше, чем атомов C. По расчету изменение распределения атомов углерода в решетке карбида  $\text{W}_2\text{C}$  сказывается на рентгеновском дифракционном спектре только в области малых углов. Интенсивности отражений  $(110)_{orthorh}$  и  $(111)_{orthorh}$ , характерных для орторомбического карбида  $\beta'\text{-W}_2\text{C}$ , а также отражения  $(001)_{C6}$  карбида  $\beta''\text{-W}_2\text{C}$  и отражения  $(101)_\varepsilon$ , характерного для карбида  $\varepsilon\text{-W}_2\text{C}$ , составляют менее 0.5 % от интенсивности наиболее сильного структурного отражения  $(101)_{L'3}$ . Таким образом, в рентгеновском дифракционном эксперименте эти отражения находятся на уровне фона. Поэтому результаты работ, в которых структура упорядоченных фаз низшего карбида вольфрама определялась только методом рентгеновской дифракции на порошках, не вполне надежны. Вместе с тем наличие атомных смещений в упорядоченных фазах может приводить к специальному расщеплению некоторых дифракционных отражений, что позволяет качественно оценить симметрию той или иной фазы.

Значительно больше сведений об упорядочении карбида вольфрама  $\text{W}_2\text{C}$  дает структурная нейтронография, так как амплитуды рассеяния нейтронов ядрами вольфрама и углерода сравнимы по величине. В нейтронографическом эксперименте перераспределение атомов углерода в решетке карбида  $\text{W}_2\text{C}$  сопровождается заметным изменением интенсивности дифракционных отражений и появлением измеримых сверхструктурных отражений, специфичных для каждой упорядоченной фазы. Расчет нейтронограмм неупорядоченного низшего карбида  $\beta\text{-W}_2\text{C}$  ( $\text{WC}_{0.50}$ ) и идеальных упорядоченных фаз  $\beta'\text{-W}_2\text{C}$  ( $\zeta\text{-W}_2\text{C}$ ),  $\beta''\text{-W}_2\text{C}$  ( $\alpha\text{-W}_2\text{C}$ ) и  $\varepsilon\text{-W}_2\text{C}$  с орторомбической, ромбоэдрической и тригональной симметрией показал, что характерные для этих фаз сверхструктурные отражения соответствуют межплоскостным расстояниям  $d > 0.24$  нм и могут наблюдаться в области малых углов (рис. 2).

С учетом возможностей рентгеновской и нейтронной дифракции рассмотрим литературные данные по упорядочению низшего карбида вольфрама.

Утверждение о существовании фазы  $\beta'\text{-W}_2\text{C}$



**Рис. 2.** Рассчитанные нейтронограммы ( $\lambda = 0.1532$  нм) неупорядоченного гексагонального (тип  $L'3$ , пространственная группа  $P6_3/mmc$ ) карбида  $\beta$ -W<sub>2</sub>C ( $WC_{0.50}$ ) и идеальных упорядоченных фаз  $\beta'$ -W<sub>2</sub>C ( $\zeta$ -W<sub>2</sub>C),  $\beta''$ -W<sub>2</sub>C и  $\varepsilon$ -W<sub>2</sub>C соответственно с орторомбической (тип  $\zeta$ -Fe<sub>2</sub>N, пространственная группа  $Pbcn$ ), ромбоэдрической (тип  $C6$ , пространственная группа  $P\bar{3}m1$ ) и тригональной (тип  $\varepsilon$ -Fe<sub>2</sub>N, пространственная группа  $P\bar{3}1m$ ) симметриями

высказали авторы работ [7, 8], опираясь на порошковую рентгенограмму образца W<sub>2</sub>C, закаленного от температуры 2630 К. Согласно работе [7], фаза  $\beta'$ -W<sub>2</sub>C стабильна при температуре около 2370–2750 К и имеет орторомбическую (пространственная группа  $Pbcn$ ) структуру. Изменение распределения атомов углерода в неметаллической подрешетке низшего карбида W<sub>2</sub>C слабо сказывается на рентгеновском дифракционном спектре порошка только в области углов  $2\theta < 30^\circ$ , но в работе [7] при  $2\theta < 34^\circ$  никаких отражений не обнаружено. Таким образом, в работе [7] нет экспериментальных данных, подтверждающих обнаружение орторомбической фазы  $\beta'$ -W<sub>2</sub>C в области температур 2370–2750 К.

Предположение о существовании упорядоченной ромбоэдрической фазы  $\beta''$ -W<sub>2</sub>C ( $\alpha$ -W<sub>2</sub>C) сделано авторами работ [7, 8] без каких-либо структурных доказательств со ссылкой на работу [9]. В ней методом электронной дифракции была исследована пленка карбида W<sub>2</sub>C, полученная карбидацией металличи-

ческого вольфрама в оксиде углерода CO при температуре около 1400 К в течение 5 мин. Авторы работы [9] на основе ограниченных данных, не рассматривая другие модели, предположили, что низший карбид  $\beta''$ -W<sub>2</sub>C ( $\alpha$ -W<sub>2</sub>C) имеет ромбоэдрическую структуру типа C6 (анти-CdI<sub>2</sub>) с пространственной группой № 164 —  $P\bar{3}m1$  ( $D_{3d}^3$ ). По мнению авторов работы [7], фаза  $\beta''$ -W<sub>2</sub>C существует при температуре от 2300 до 1500 К. Позднее существование ромбоэдрической фазы  $\beta''$ -W<sub>2</sub>C никто не подтвердил.

Опираясь на скучные и неподтвержденные данные, авторы работ [7, 8] предположили, что в низшем карбиде вольфрама при понижении температуры последовательно происходят фазовые превращения «гексагональная неупорядоченная фаза  $\beta$ -W<sub>2</sub>C → орторомбическая упорядоченная фаза  $\beta'$ -W<sub>2</sub>C → ромбоэдрическая упорядоченная фаза  $\beta''$ -W<sub>2</sub>C».

Результаты других работ полностью противоположны данным [7, 8].

В работе [10] на рентгенограммах образцов W<sub>2</sub>C ( $WC_{0.50}$ ), отожженных в течение 600 ч при  $T \leq 1270$  К, некоторые дифракционные отражения базисной гексагональной решетки были расщеплены; расчет показал, что наблюдаемый рентгеновский дифракционный спектр соответствует упорядоченной орторомбической фазе  $\beta'$ -W<sub>2</sub>C ( $\zeta$ -W<sub>2</sub>C) со структурой типа  $\zeta$ -Fe<sub>2</sub>N. После отжига тех же образцов при 870, 1070 и 1270 К в течение соответственно 3000, 1500 и 750 ч [11] в них по-прежнему присутствовала упорядоченная орторомбическая (пространственная группа  $Pbcn$ ) фаза  $\beta'$ -W<sub>2</sub>C. По нейтронографическим данным [12, 13] орторомбическая фаза  $\beta'$ -W<sub>2</sub>C со структурой  $\zeta$ -Fe<sub>2</sub>N наблюдается в образцах W<sub>2</sub>C только после отжига при  $T < 1300$  К. С учетом результатов [10–13] орторомбическая (пространственная группа  $Pbcn$ ) модификация  $\beta'$ -W<sub>2</sub>C ( $\zeta$ -W<sub>2</sub>C) существует при температуре ниже 1300 К.

В ряде работ найдена тригональная фаза  $\varepsilon$ -W<sub>2</sub>C, которую авторы работ [7, 8] не упоминают.

Тригональная (пространственная группа  $P\bar{3}1m$ ) фаза  $\varepsilon$ -W<sub>2</sub>C обнаружена в образцах W<sub>2</sub>C, полученных твердофазным спеканием смесей вольфрама и углерода при температурах 2370–2670 К [6] и 1920 К [14], дуговой плавкой смесей вольфрама и углерода [15]. В работах [12, 13, 16] образцы низшего карбида вольфрама отжигались в течение 100 ч при температуре 1470 К. Нейтронограммы отожженных порошков низшего карбида вольфрама снимались при 300 К, а также в интервале температур от 1520 до 2070 К. Нейтронная и электронная ди-

фракции [16] обнаружили в отожженном образце тригональный карбид  $\varepsilon\text{-W}_2\text{C}$  со структурой типа  $\varepsilon\text{-Fe}_2\text{N}$ . Нейtronографические измерения [13] показали, что в отожженных порошках основной фазой является упорядоченный тригональный (пространственная группа  $P\bar{3}1m$ ) карбид  $\varepsilon\text{-W}_2\text{C}$ , а примесной фазой — гексагональный монокарбид вольфрама WC. Что касается упорядоченного орторомбического (пространственная группа  $Pbcn$ ) карбида  $\beta'\text{-W}_2\text{C}$ , то по данным [13] он в малом количестве образуется в образцах  $\text{W}_2\text{C}$ , отожженных при температуре 1190–1300 К и ниже.

В работе [17] рентгеновским методом изучались монокристаллы  $\text{W}_2\text{C}$  размером 0.2–0.5 мм, которые извлекались из образцов  $\text{W}_2\text{C}$ , полученных дуговой плавкой и отожженных при  $T = 1720\text{--}2120$  К в течение 1.5 ч. По мнению авторов работы [17] при температуре около 2120 К неупорядоченный низший карбид  $\beta\text{-W}_2\text{C}$  переходит в тригональную упорядоченную фазу  $\varepsilon\text{-W}_2\text{C}$ , которая термодинамически стабильна в интервале температур от 2120 до 1520 К.

Таким образом, литературные сведения по упорядочению низшего карбида вольфрама  $\text{W}_2\text{C}$  противоречивы и неоднозначны. В связи с этим в данной работе для выявления возможных упорядоченных фаз выполнен их теоретический симметрийный анализ и проведены нейтроно- и рентгенографическое изучение структуры низшего карбида вольфрама, полученного разными способами в широкой области температур примерно от 3600 до 1370 К.

## 2. ОБРАЗЦЫ И МЕТОДИКИ ЭКСПЕРИМЕНТА

Образцы низшего карбида вольфрама  $\text{W}_2\text{C}$  синтезировали твердофазным спеканием порошковых смесей W + C в вакууме 0.0013 Па ( $10^{-5}$  мм рт. ст.) при температуре 2070 К в течение 10 ч; отжигом в вакууме в течение 35 ч при  $T = 1370$  К образцов, спеченных из вольфрама и углерода при 2070 К; спеканием в вакууме при температуре 1370 К в течение 50 ч порошковых смесей W + C. При твердофазном вакуумном спекании в качестве исходных продуктов использовали порошок вольфрама со средним размером частиц 3–5 мкм и газовую сажу. Порошок  $\text{W}_2\text{C}$  также получали плазмохимическим синтезом из оксида  $\text{WO}_3$  и пропана  $\text{C}_3\text{H}_8$  в водородной плазме с закалкой от температуры примерно 2600 К. Полученные образцы карбидов вольфрама аттестовали по составу химическим и спектральным анализами.

Фазовый состав образцов и параметры кристал-

лических решеток фаз определяли методом рентгеноиской дифракции на дифрактометре ДРОН-УМ1 в  $K_{\alpha_{1,2}}$ -излучении Cu в интервале углов  $2\theta$  от  $10^\circ$  до  $140^\circ$  с шагом  $\Delta 2\theta = 0.03^\circ$  и временем сканирования 2 с в точке.

Структуру упорядоченных фаз низшего карбида  $\text{W}_2\text{C}$  изучали нейтронографическим методом на дифрактометрах D7a ( $\lambda = 0.1532$  нм) и D2 ( $\lambda = 0.1805$  нм), установленных на горизонтальном канале реактора ИВВ-2М (г. Заречный). Разрешение дифрактометров  $\Delta d/d = 0.3\%$ . Для монохроматизации первичного пучка нейтронов использовали двойные монохроматоры: на дифрактометре D7a дифракция нейтронов последовательно осуществлялась от грани (002) пирографита и грани (333) монокристалла германия Ge, а на дифрактометре D2 — от грани (111) пирографита и грани (002) монокристалла германия. Измерения вели при комнатной температуре в интервале углов  $2\theta$  от  $5\text{--}10^\circ$  до  $115\text{--}125^\circ$  в режиме пошагового сканирования с  $\Delta 2\theta = 0.1^\circ$ . При нейтронографическом изучении плазмохимического порошка  $\text{W}_2\text{C}$  длительность экспозиции в точке составляла 260 и 70 с на нейтронах соответственно с длиной волны 0.1532 и 0.1805 нм. Нейтронографические измерения на компактных спеченных образцах  $\text{W}_2\text{C}$  проводили на нейтронах с длиной волны 0.1532 нм с временем экспозиции 150 с в точке. Структуру фаз уточняли с помощью программы GSAS [18], фон описывали полиномом Чебышева 6-го порядка.

Средний размер областей когерентного рассеяния  $\langle D \rangle$  оценивали методом Уоррена [19] по формуле

$$\langle D \rangle = \frac{K_{hkl}\lambda}{\beta(2\theta)\cos\theta}, \quad (1)$$

где  $\lambda$  — длина волны излучения,  $\theta$  — угол Брегга,  $K_{hkl} \approx 1$  — постоянная Шеррера, величина которой зависит от формы кристаллита (домена) и индексов  $(hkl)$  отражения,  $\beta(2\theta) = \sqrt{(\text{FWHM}_{exp})^2 - (\text{FWHM}_R)^2}$  — уширение дифракционного отражения,  $\text{FWHM}_{exp}$  — полная ширина отражения на половине высоты,  $\text{FWHM}_R$  — инструментальная функция углового разрешения дифрактометра. Функция разрешения  $\text{FWHM}_R(2\theta) = (u \operatorname{tg}^2 \theta + v \operatorname{tg} \theta + w)^{1/2}$  рентгеновского дифрактометра ДРОН-УМ1 была определена в специальном дифракционном эксперименте на кубическом гексабориде лантана LaB<sub>6</sub> (NIST Standart Reference Powder 660a) с периодом решетки  $a = 0.41569162$  нм; параметры этой функции равны  $u = 0.0041$ ,  $v = -0.0021$  и  $w = 0.0093$ . Инструментальные функции разрешения нейтронных

дифрактометров  $D7a$  и  $D2$  определяли на стандартном образце оксида алюминия  $\text{Al}_2\text{O}_3$  (корунда) с периодами  $a = 0.4789$  и  $c = 1.2991$  нм.

### 3. СИММЕТРИЙНЫЙ АНАЛИЗ ВОЗМОЖНЫХ УПОРЯДОЧЕННЫХ ФАЗ НИЗШЕГО КАРБИДА ВОЛЬФРАМА

Превращения беспорядок–порядок или порядок–порядок, происходящие при понижении температуры, представляют собой переходы из состояния с большей свободной энергией в состояние с меньшей свободной энергией. Состояние вещества при атомном или атомно-вакансационном упорядочении можно характеризовать термодинамическим потенциалом Ландау, который в этом случае является функционалом вероятностей обнаружения атомов какого-либо сорта в узлах решетки, координат узлов и температуры. В свою очередь, вероятности являются функциями параметров дальнего порядка. Потенциал Ландау имеет несколько минимумов, соответствующих высокосимметричной неупорядоченной и низкосимметричным упорядоченным фазам. При понижении температуры переход от неупорядоченной фазы к какой-либо из упорядоченных фаз или от одной упорядоченной фазы к другой происходит только при понижении симметрии. Симметрийный анализ позволяет количественно установить величину понижения симметрии при образовании той или иной сверхструктуры и определить, в какой физически допустимой последовательности эти сверхструктуры могут образовываться.

Проведем симметрийный анализ возможных упорядоченных фаз низшего карбида вольфрама  $\text{W}_2\text{C}$ , т. е. найдем соответствующие им каналы перехода беспорядок–порядок, рассчитаем функции распределения атомов углерода, определим изменение симметрии при переходе от одной фазы к другой. Процедура расчета сверхструктурных векторов обратной решетки, канала перехода и функции распределения подробно описана в работах [1, 2].

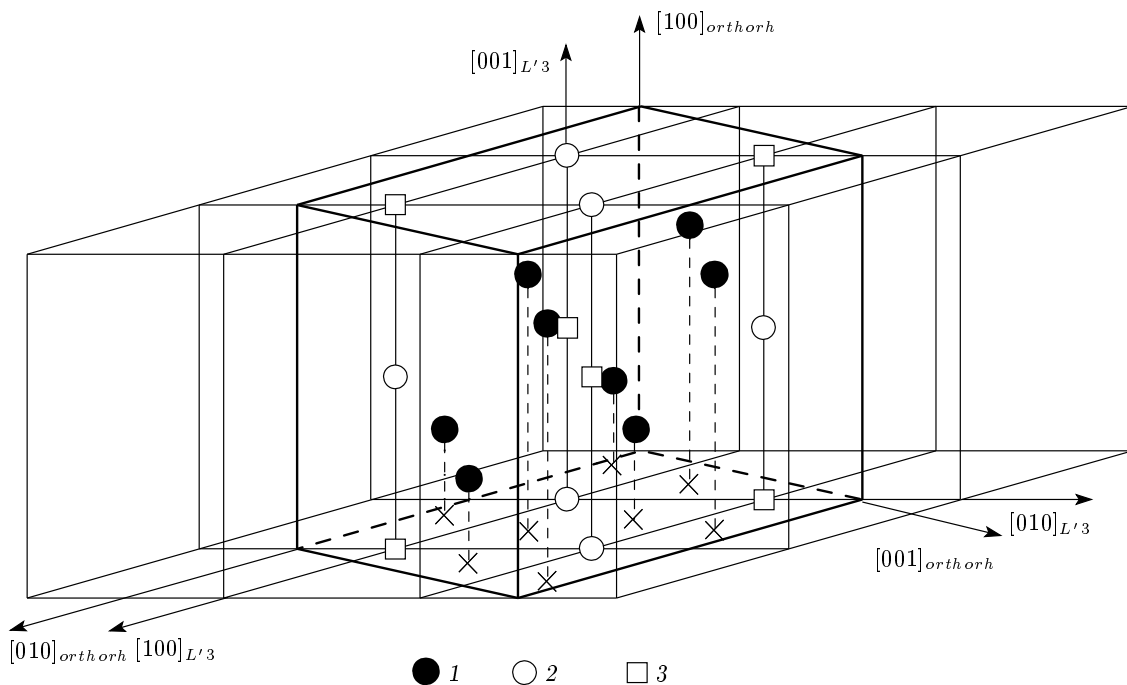
Высокотемпературная фаза  $\beta\text{-W}_2\text{C}$  имеет гексагональную структуру типа  $L'3$  с неупорядоченным размещением атомов углерода С и структурных вакансий  $\square$  на позициях  $2(a)$  с координатами  $(0\ 0\ 0)$  и  $(0\ 0\ 1/2)$ . Объем элементарной ячейки карбида  $\beta\text{-W}_2\text{C}$  равен  $V = (\sqrt{3}/2)a^2c$ . В низшем неупорядоченном карбиде  $\beta\text{-W}_2\text{C}$  со структурой  $L'3$  решетки Изинга, в которой может происходить атомно-вакансационное упорядочение, является

гексагональная неметаллическая подрешетка. Для карбида  $\beta\text{-W}_2\text{C}$  периоды  $a_x = a_y = a$ , а период  $a_z$  примитивной (по неметаллической подрешетке) трансляционной ячейки в направлении  $[0\ 0\ 1]$  вдвое меньше, чем период с элементарной ячейки, т. е.  $a_z = c/2$  (рис. 1). С учетом этого структурные векторы обратной решетки для базисной гексагональной решетки равны  $\mathbf{b}_1 = (1, 0, 0)$  и  $\mathbf{b}_2 = (0, 1, 0)$  в единицах  $4\pi/(a\sqrt{3})$  и  $\mathbf{b}_3 = (0, 0, 1)$  в единицах  $4\pi/c$ .

Предполагаемая модификация  $\beta'\text{-W}_2\text{C}$  ( $\zeta\text{-W}_2\text{C}$ ) со структурой типа  $\zeta\text{-Fe}_2\text{N}$  обладает орторомбической (пространственная группа  $Pbcn$ ) симметрией, хотя металлическая подрешетка остается гексагональной плотноупакованной, как в высокотемпературном карбиде  $\beta\text{-W}_2\text{C}$ . В этой структуре атомы вольфрама W находятся в позициях  $8(d)$ , атомы С занимают позиции  $4(c)$  с координатами  $(0 \sim 3/8\ 1/4)$ , а позиции  $4(c)$  с координатами  $(0 \sim 7/8\ 1/4)$  являются вакантными. Периоды кристаллической решетки идеальной орторомбической фазы  $\beta'\text{-W}_2\text{C}$  равны  $a_{orthorh} = c_{L'3}$ ,  $b_{orthorh} = 2a_{L'3}$  и  $c_{orthorh} = \sqrt{3}a_{L'3}$ , элементарная ячейка орторомбической фазы имеет объем  $V_{orthorh} = (2\sqrt{3})a^2c$ . Фаза  $\beta'\text{-W}_2\text{C}$  (рис. 3) является упорядоченной по неметаллической подрешетке в сравнении с высокотемпературной гексагональной фазой  $\beta\text{-W}_2\text{C}$  (рис. 1).

Проведенный расчет показал, что при образовании орторомбической фазы в первой зоне Бриллюэна неупорядоченной неметаллической гексагональной подрешетки находится один неэквивалентный сверхструктурный вектор  $-(1/2\ 1/2\ -1/2)$ , который соответствует лучу  $\mathbf{k}_{14}^{(3)} = -(\mathbf{b}_1 + \mathbf{b}_2 - \mathbf{b}_3)/2$  трехлучевой звезды  $\{\mathbf{k}_{14}\}$  (здесь и далее нумерация и описание звезд  $\{\mathbf{k}_s\}$  волновых векторов гексагональной решетки даны в соответствии с работой [20]). Таким образом, канал перехода беспорядок–порядок  $\beta\text{-W}_2\text{C}$  (пространственная группа  $P6_3/mmc$ )  $\rightarrow \beta'\text{-W}_2\text{C}$  (пространственная группа  $Pbcn$ ) включает один сверхструктурный вектор  $\mathbf{k}_{14}^{(3)}$ .

Структуру упорядоченных фаз удобно описывать с помощью функции распределения  $n(\mathbf{r})$ , которая представляет собой вероятность обнаружения атома данного сорта на узле  $\mathbf{r}$  упорядочивающейся подрешетки. Отклонение вероятности  $n(\mathbf{r})$  от ее значения в случае неупорядоченного (статистического) распределения можно представить как суперпозицию нескольких плоских концентрационных волн [21]. Волновыми векторами этих волн являются сверхструктурные векторы, образующие канал перехода беспорядок–порядок [1, 2]. В методе статических концентрационных волн [21] функция распре-



**Рис. 3.** Положение элементарной ячейки орторомбической (пространственная группа  $Pbcn$ ) упорядоченной фазы  $\beta'$ - $W_2C$  ( $\zeta$ - $Fe_2N$ ) в базисной решетке со структурой  $L'3$ : 1 — атомы вольфрама, 2 — атомы углерода, 3 — вакантные узлы неметаллической подрешетки

деления  $n(\mathbf{r})$  имеет вид

$$n(\mathbf{r}) = y + \frac{1}{2} \sum_s \sum_{j \in s} \eta_s \gamma_s \left[ \exp\left(i\varphi_s^{(j)}\right) \exp\left(i\mathbf{k}_s^{(j)} \mathbf{r}\right) + \exp\left(-i\varphi_s^{(j)}\right) \exp\left(-i\mathbf{k}_s^{(j)} \mathbf{r}\right) \right], \quad (2)$$

где  $y$  — доля узлов, занятых атомами данного сорта в упорядочивающейся подрешетке;  $\eta_s$  — параметр дальнего порядка, соответствующий звезде  $\{\mathbf{k}_s\}$ ;  $\mathbf{k}_s^{(j)}$  — сверхструктурный вектор звезды  $\{\mathbf{k}_s\}$ , порождающий концентрационную волну;  $\eta_s \gamma_s$  и  $\varphi_s^{(j)}$  — соответственно амплитуда и фазовый сдвиг концентрационной волны.

С учетом формулы (2) функция распределения атомов углерода в орторомбической (пространственная группа  $Pbcn$ ) фазе  $\beta'$ - $W_2C$  зависит от одного параметра дальнего порядка  $\eta_{14}$ , соответствующего звезде  $\{\mathbf{k}_{14}\}$ . Согласно расчету, эта функция имеет вид

$$n(x_1, y_1, z_1) = y + \frac{\eta_{14}}{2} \cos \pi(x_1 + y_1 - 2z_1), \quad (3)$$

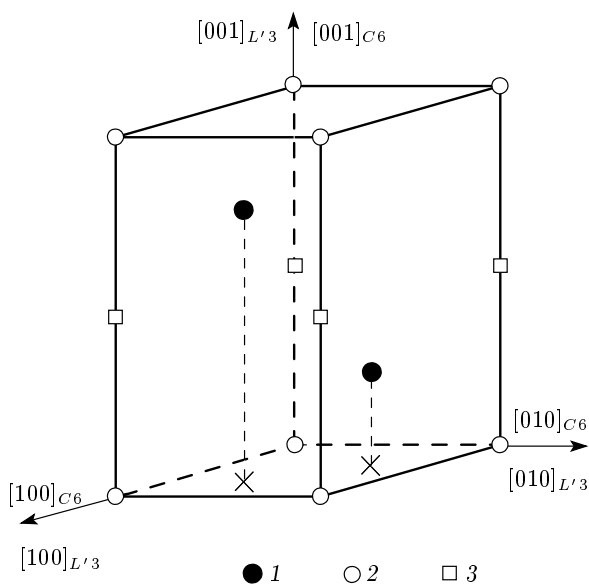
где  $y \leq 0.5$  — относительное содержание углерода в карбиде  $\beta'$ - $W_2C$  ( $WC_y$ );  $x_1, y_1, z_1$  — координаты узлов  $\mathbf{r}$  неметаллической подрешетки базисной неупорядоченной гексагональной фазы. Функция (3) на

узлах, относящихся к разным позициям неметаллической подрешетки орторомбической сверхструктуры  $\beta'$ - $W_2C$ , принимает два значения (табл. 1). Эти значения — степени заполнения узлов атомами углерода или, что то же самое, вероятности обнаружения атомов углерода на узлах, находящихся в разных кристаллографических позициях.

Точечная группа симметрии  $tmm$  ( $D_{2h}$ ) орторомбического карбида  $\beta'$ - $W_2C$  включает 8 элементов симметрии  $H_1, H_4, H_7, H_9, H_{13}, H_{16}, H_{19}$  и  $H_{21}$ , а в точечную группу  $6/tmm$  ( $D_{6h}$ ) базисной неупорядоченной фазы  $\beta$ - $W_2C$  входят 24 элемента  $H_1, \dots, H_{24}$  [1, 2, 20], поэтому поворотное снижение симметрии равно 3. Понижение трансляционной симметрии равно отношению объемов элементарных ячеек упорядоченной и неупорядоченной фаз и в переходе от неупорядоченного карбида  $\beta$ - $W_2C$  к орторомбическому карбиду  $\beta'$ - $W_2C$  равно 4. Общее понижение симметрии есть произведение поворотного и трансляционного понижений симметрии. В переходе  $\beta$ - $W_2C$  (пространственная группа  $P6_3/tmc$ )  $\rightarrow$   $\beta'$ - $W_2C$  (пространственная группа  $Pbcn$ ) общее понижение симметрии  $N = n(G)/n(G_D) = 12$ , где  $n(G)$  и  $n(G_D)$  — порядок пространственных групп  $G$  и  $G_D$  высокосимметрич-

**Таблица 1.** Орторомбическая (тип  $\zeta$ -Fe<sub>2</sub>N, пространственная группа № 60 —  $Pbcn$  ( $D_{2h}^{14}$ )) упорядоченная фаза  $\beta''$ -W<sub>2</sub>C ( $\zeta$ -W<sub>2</sub>C),  $Z = 4$ :  $a_{orthorh} = \langle 001 \rangle_{L'3}$ ,  $b_{orthorh} = 2\langle 100 \rangle_{L'3}$ ,  $c_{orthorh} = \langle 120 \rangle_{L'3}$

Атом	Позиция и кратность	Атомные координаты в базисной неупорядоченной структуре			Атомные координаты в идеальной упорядоченной структуре			Значения функции распределения $n(x_1, y_1, z_1)$
		$x_1 = x/a_{L'3}$	$y_1 = y/b_{L'3}$	$z_1 = z/c_{L'3}$	$x/a_{orthorh}$	$y/b_{orthorh}$	$z/c_{orthorh}$	
C1 (вакансия)	4( <i>c</i> )	1	0	0	0	7/8	1/4	$n_1 = y - \eta_{14}/2$
C2	4( <i>c</i> )	0	0	0	0	3/8	1/4	$n_2 = y + \eta_{14}/2$
W	8( <i>d</i> )	-2/3	-1/3	1/4	1/4	1/8	1/12	



**Рис. 4.** Положение элементарной ячейки ромбоэдрической (пространственная группа  $P\bar{3}1m$ ) упорядоченной фазы  $\beta''$ -W<sub>2</sub>C ( $\alpha$ -W<sub>2</sub>C) типа  $C_6$  в базисной решетке со структурой  $L'3$ : 1 — атомы вольфрама, 2 — атомы углерода, 3 — вакантные узлы неметаллической подрешетки

ной неупорядоченной и низкосимметричной упорядоченной фаз.

Векторы трансляции элементарной ячейки ромбоэдрической (пространственная группа  $P\bar{3}1m$ ) фазы  $\beta''$ -W<sub>2</sub>C со структурой типа  $C_6$  совпадают с векторами трансляции элементарной ячейки неупорядоченной гексагональной фазы (рис. 4), поэтому объем элементарной ячейки ромбоэдрической фазы  $V_{C6} = (\sqrt{3}/2)a^2c$  совпадает с объемом элементарной

ячейки неупорядоченного карбида  $\beta$ -W<sub>2</sub>C. В идеальном случае в фазе  $\beta''$ -W<sub>2</sub>C два атома W находятся в позициях 2(*d*) с координатами  $(1/3 2/3 z)$  и  $(2/3 1/3 -z)$ , где  $z = 0.25$ , атом C занимает позицию 1(*a*) с координатами  $(0 0 0)$ , а позиция 1(*b*) с координатами  $(0 0 1/2)$  является вакантной. Из сравнения с неупорядоченным карбилем  $\beta$ -W<sub>2</sub>C (рис. 1) ясно, что в результате ромбоэдрического упорядочения позиции 2(*a*), статистически наполовину занятые атомами C, расщепляются на позиции 1(*a*) и 1(*b*), одна из которых занята атомом углерода, а другая вакантна.

По расчету фаза  $\beta''$ -W<sub>2</sub>C образуется по каналу перехода беспорядок—порядок, включающему луч  $\mathbf{k}_{17}^{(1)} = \mathbf{b}_3/2$  звезды  $\{\mathbf{k}_{17}\}$ . В соответствии с этим функция распределения атомов углерода на узлах  $\mathbf{r}$  неметаллической подрешетки упорядоченной ромбоэдрической фазы  $\beta''$ -W<sub>2</sub>C ( $WC_y$ ) с любой степенью порядка имеет вид

$$n(x_1, y_1, z_1) = y + (\eta_{17}/2) \cos 2\pi z_1 \quad (4)$$

и зависит от одного параметра дальнего порядка  $\eta_{17}$ . Значения функции распределения (4) на узлах неметаллической подрешетки ромбоэдрической сверхструктуры даны в табл. 2.

Точечная группа симметрии  $\bar{3}m$  ( $D_{3d}$ ) ромбоэдрического карбида  $\beta''$ -W<sub>2</sub>C включает 12 элементов симметрии  $H_1, H_3, H_5, H_8, H_{10}, H_{12}, H_{13}, H_{15}, H_{17}, H_{20}, H_{22}$  и  $H_{24}$  [1, 2, 20] из 24 элементов гексагональной группы  $6/mmm$ , поэтому поворотное снижение симметрии равно 2. Поскольку объем элементарной ячейки при переходе из неупорядоченного состояния в упорядоченное не меняется, понижение трансляционной симметрии равно 1, а общее понижение симметрии в превращении  $\beta$ -W<sub>2</sub>C (пространствен-

**Таблица 2.** Ромбоэдрическая (тип  $C6$  (анти- $\text{CdI}_2$ ), пространственная группа № 164 —  $P\bar{3}m1$  ( $D_{3d}^3$ )) упорядоченная фаза  $\beta''\text{-W}_2\text{C}$ ,  $Z = 1$ :  $a_{C6} = \langle 100 \rangle_{L'3}$ ,  $b_{C6} = \langle 010 \rangle_{L'3}$ ,  $c_{C6} = \langle 001 \rangle_{L'3}$

Атом	Позиция и кратность	Атомные координаты в идеальной упорядоченной структуре			Значения функции распределения $n(x_1, y_1, z_1)$
		$x/a_{C6} \equiv x/a_{L'3}$	$y/b_{C6} \equiv y/b_{L'3}$	$z/c_{C6} \equiv z/c_{L'3}$	
C1 (вакансия)	1(b)	0	0	1/2	$n_1 = y - \eta_{17}/2$
C2	1(a)	0	0	0	$n_2 = y + \eta_{17}/2$
W	2(d)	1/3	2/3	1/4	

ная группа  $P6_3/mmc \rightarrow \beta''\text{-W}_2\text{C}$  (пространственная группа  $P\bar{3}m1$ ) равно 2.

Тригональная (пространственная группа  $P\bar{3}1m$ ) фаза  $\varepsilon\text{-W}_2\text{C}$  имеет элементарную ячейку (рис. 5) с векторами трансляции  $\mathbf{a}_\varepsilon = [1-10]_{L'3}$ ,  $\mathbf{b}_\varepsilon = [120]_{L'3}$ ,  $\mathbf{c}_\varepsilon = [001]_{L'3}$  и объемом  $V_\varepsilon = (3\sqrt{3}/2)a^2c$ . В идеальной тригональной сверхструктуре, в которой атомы W занимают позиции 6(k) с координатами  $(1/3\ 0\ 1/4)$ , атомы C занимают узлы 1(a) с координатами  $(0\ 0\ 0)$  и 2(d) с координатами  $(1/3\ 2/3\ 1/2)$ , тогда как узлы 1(b) с координатами  $(0\ 0\ 1/2)$  и узлы 2(c) с координатами  $(1/3\ 2/3\ 0)$  вакантны.

Расчет сверхструктурных векторов обратной решетки тригональной фазы  $\varepsilon\text{-W}_2\text{C}$  и их трансляция показали, что в первой зоне Бриллюэна неупорядоченной неметаллической гексагональной подрешетки находятся три неэквивалентных сверхструктурных вектора. Первый из них соответствует лу-чу  $\mathbf{k}_{17}^{(1)} = \mathbf{b}_3/2$  однолучевой лифшицевской звезды  $\{\mathbf{k}_{17}\}$ , а два других — лучам  $\mathbf{k}_{15}^{(1)} = (\mathbf{b}_1 + \mathbf{b}_2)/3 + \mathbf{b}_3/2$  и  $\mathbf{k}_{15}^{(2)} = -\mathbf{k}_{15}^{(1)}$  двухлучевой лифшицевской звезды  $\{\mathbf{k}_{15}\}$ . Таким образом, канал перехода беспорядок–порядок, связанный с образованием тригональной упорядоченной фазы  $\varepsilon\text{-W}_2\text{C}$ , включает три сверхструктурных вектора  $\mathbf{k}_{15}^{(1)}$ ,  $\mathbf{k}_{15}^{(2)}$  и  $\mathbf{k}_{17}^{(1)}$ . Наличие в канале перехода лучей только лифшицевских звезд означает, что образование тригональной сверхструктуры удовлетворяет критерию Ландау для фазовых переходов второго рода. Это согласуется с экспериментальными данными [13], по которым превращение беспорядок–порядок  $\beta\text{-W}_2\text{C} \leftrightarrow \varepsilon\text{-W}_2\text{C}$  является переходом второго рода. Функция распределения атомов углерода в тригональной фазе  $\varepsilon\text{-W}_2\text{C}_y$  ( $\text{WC}_y$ ,  $y \leq 0.5$ ) имеет вид

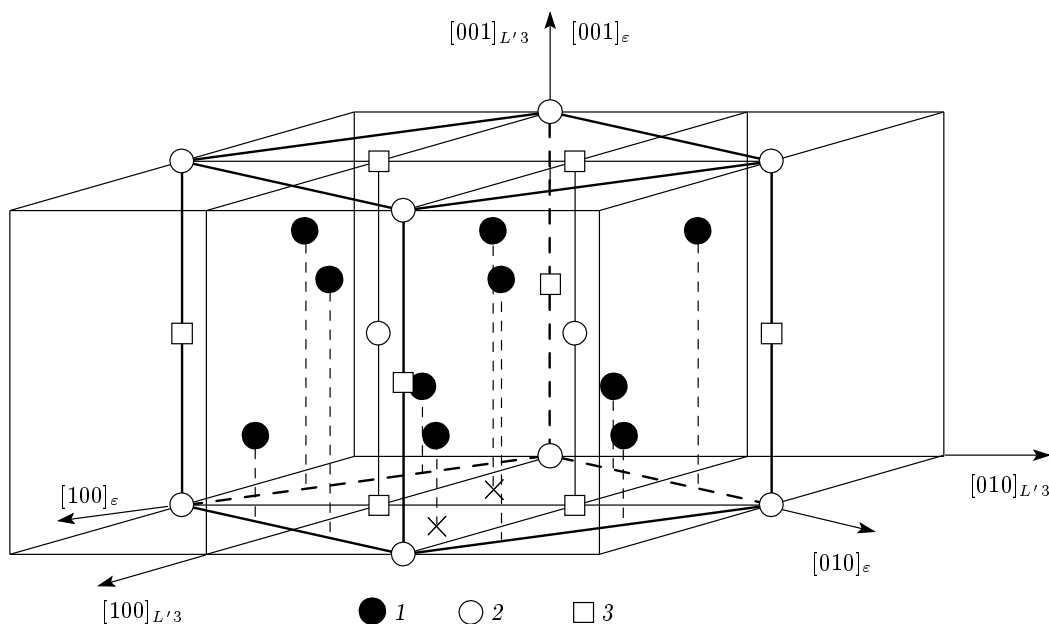
$$n(x_1, y_1, z_1) = y - \frac{\eta_{17}}{6} \cos 2\pi z_1 + \\ + \frac{2\eta_{15}}{3} \cos \left[ \frac{2\pi}{3}(x_1 + y_1 + 3z_1) \right]. \quad (5)$$

Найденная функция зависит от двух параметров дальнего порядка  $\eta_{17}$  и  $\eta_{15}$ , соответствующих лифшицевским звездам  $\{\mathbf{k}_{17}\}$  и  $\{\mathbf{k}_{15}\}$ , и на узлах неметаллической подрешетки тригональной фазы  $\varepsilon\text{-W}_2\text{C}$  принимает четыре разных значения (табл. 3).

Луч  $\mathbf{k}_{17}^{(1)}$  звезды  $\{\mathbf{k}_{17}\}$  и параметр дальнего порядка  $\eta_{17}$  отвечают за порядок чередования неметаллических атомных плоскостей  $(00z)_\varepsilon$ , перпендикулярных оси  $c$  и различающихся степенями заполнения атомами углерода С: в идеальной упорядоченной фазе  $\varepsilon\text{-W}_2\text{C}$  чередуются плоскости  $(00z)_\varepsilon$  со степенями заполнения  $1/3$  (при  $z = 0$ ) и  $2/3$  (при  $z = 1/2$ ) (рис. 5). Лучи  $\mathbf{k}_{15}^{(1)}$  и  $\mathbf{k}_{15}^{(2)}$  звезды  $\{\mathbf{k}_{15}\}$  и параметр дальнего порядка  $\eta_{15}$  отвечают за размещение атомов углерода и вакансий в неметаллических плоскостях  $(00z)_\varepsilon$ .

Точечная группа симметрии  $\bar{3}m$  тригонального карбида  $\varepsilon\text{-W}_2\text{C}$  включает 12 элементов симметрии, поэтому поворотное снижение симметрии равно 2. Понижение трансляционной симметрии при переходе от неупорядоченного карбида  $\beta\text{-W}_2\text{C}$  к тригональному карбиду  $\varepsilon\text{-W}_2\text{C}$  равно 3. Общее понижение симметрии в переходе  $\beta\text{-W}_2\text{C}$  (пространственная группа  $P6_3/mmc$ )  $\rightarrow \varepsilon\text{-W}_2\text{C}$  (пространственная группа  $P\bar{3}1m$ ) равно 6.

Изменение симметрии при образовании возможных орторомбической и ромбоэдрической фаз таково, что предложенная в работах [7, 8] последовательность превращений «гексагональная неупорядоченная фаза  $\beta\text{-W}_2\text{C} \rightarrow$  орторомбическая упорядоченная фаза  $\beta'\text{-W}_2\text{C} \rightarrow$  ромбоэдрическая упорядоченная фаза  $\beta''\text{-W}_2\text{C}$ » физически недопустима, так как



**Рис. 5.** Положение элементарной ячейки тригональной (пространственная группа  $P\bar{3}1m$ ) упорядоченной фазы  $\varepsilon$ -W<sub>2</sub>C типа  $\varepsilon$ -Fe<sub>2</sub>N в базисной решетке со структурой  $L'3$ : 1 — атомы вольфрама, 2 — атомы углерода, 3 — вакантные узлы неметаллической подрешетки

**Таблица 3.** Идеальная тригональная (тип  $\varepsilon$ -Fe<sub>2</sub>N, пространственная группа № 162 —  $P\bar{3}1m (D_{3d}^1)$ ) упорядоченная фаза  $\varepsilon$ -W<sub>2</sub>C,  $Z = 3$ :  $a_\varepsilon = \langle 1 - 10 \rangle_{L'3}$ ,  $b_\varepsilon = \langle 120 \rangle_{L'3}$ ,  $c_\varepsilon = \langle 001 \rangle_{L'3}$

Атом	Позиция и кратность	Атомные координаты в базисной неупорядоченной структуре			Атомные координаты в идеальной упорядоченной структуре			Значения функции распределения $n(x_1, y_1, z_1)$
		$x_1 = x/a_{L'3}$	$y_1 = y/b_{L'3}$	$z_1 = z/c_{L'3}$	$x/a_\varepsilon$	$y/b_\varepsilon$	$z/c_\varepsilon$	
C1 (вакансия)	1(b)	0	0	1/2	0	0	1/2	$n_1 = y + \eta_{17}/6 - 2\eta_{15}/3$
C2 (вакансия)	2(c)	1	1	0	1/3	2/3	0	$n_2 = y - \eta_{17}/6 - \eta_{15}/3$
C3	1(a)	0	0	0	0	0	0	$n_3 = y - \eta_{17}/6 + 2\eta_{15}/3$
C4	2(d)	1	1	1/2	1/3	2/3	1/2	$n_4 = y + \eta_{17}/6 + \eta_{15}/3$
W	6(k)	1/3	-1/3	1/4	1/3	0	1/4	

при переходе  $\beta'-\text{W}_2\text{C} \rightarrow \beta''-\text{W}_2\text{C}$  вместо понижения будет происходить повышение симметрии.

Если на разных этапах упорядочения карбива W<sub>2</sub>C образуются все три сверхструктуры, то симметрийный анализ позволяет предложить единственную возможную последовательность фазовых превращений, которые происходят при понижении температуры и не противоречат изменению сим-

метрии: гексагональная (пространственная группа  $P6_3/mmc$ ) неупорядоченная фаза  $\beta$ -W<sub>2</sub>C  $\rightarrow$  ромбоэдрическая (пространственная группа  $P\bar{3}1m$ ) упорядоченная фаза  $\beta''$ -W<sub>2</sub>C  $\rightarrow$  тригональная (пространственная группа  $P\bar{3}1m$ ) упорядоченная фаза  $\varepsilon$ -W<sub>2</sub>C  $\rightarrow$  орторомбическая (пространственная группа  $Pbcn$ ) упорядоченная фаза  $\beta'$ -W<sub>2</sub>C. В этом случае симметрия снижается в 2 раза при переходе от

гексагонального к ромбоэдрическому карбиду, затем в 3 раза при переходе от ромбоэдрического к тригональному карбиду и в 2 раза при переходе от тригонального к орторомбическому карбиду. Если экспериментально какая-либо упорядоченная фаза не обнаруживается, то последовательность превращений и без этой фазы остается физически верной.

С учетом выполненного анализа рассмотрим результаты экспериментального изучения структуры низшего карбида вольфрама  $W_2C$ .

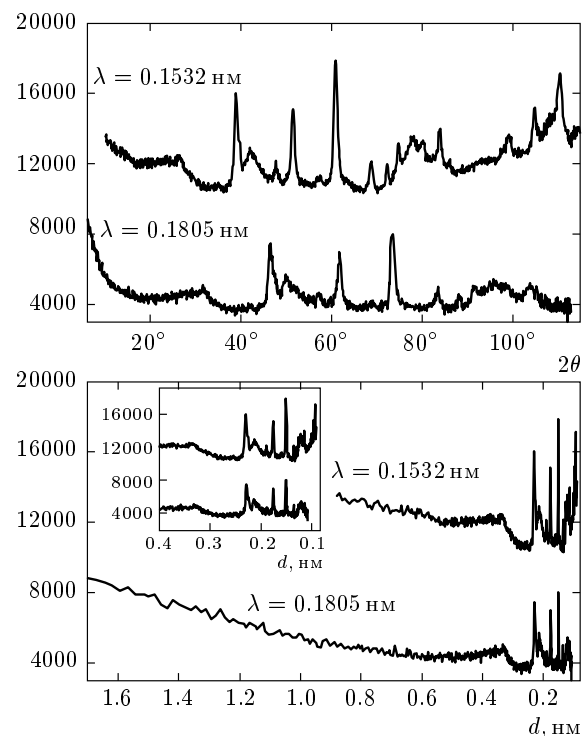
#### 4. РЕАЛЬНАЯ СТРУКТУРА УПОРЯДОЧЕННОЙ ФАЗЫ НИЗШЕГО КАРБИДА ВОЛЬФРАМА

На рентгенограмме порошка, полученного плазмохимическим синтезом, присутствуют дифракционные отражения трех фаз: низшего  $W_2C$  и высшего WC карбидов вольфрама, а также вольфрама W. Все отражения сильно уширены вследствие малого размера частиц синтезированного порошка. Средний размер областей когерентного рассеяния, оцененный по величине уширения, равен  $55 \pm 10$  нм. Минимизация рентгеновского спектра показала, что нанокристаллический образец содержит около 75 вес.%  $W_2C$  (пространственная группа  $P\bar{6}_3/tmc$ ), около 15 вес.% W и примерно 10 вес.% WC; фактор  $R_I = 0.135$ . Попытка учесть наличие упорядоченных фаз ( $\varepsilon$ - $W_2C$ ,  $\beta'$ - $W_2C$  или  $\beta''$ - $W_2C$ ) не привела к улучшению сходимости из-за большого уширения дифракционных отражений.

По результатам химического анализа в полученном нанопорошке общее содержание углерода равно примерно 6.2 вес.%, в том числе содержание свободного аморфного углерода составляет примерно 3.6 вес.%. С учетом данных рентгеновской дифракции и химического анализа нанокристаллический порошок содержал около 72.5 вес.%  $W_2C$ , 14.5 вес.% W, 9.5 вес.% WC и 3.5 вес.% C.

Нанокристаллический порошок, на три четверти состоящий из низшего карбида вольфрама  $W_2C$ , изучали методом структурной нейтронографии с использованием нейтронов с длинами волн 0.1532 нм и 0.1805 нм. Съемку на нейтронах с большой длиной волны проводили для более детального анализа малоугловой области рассеяния, в которой могут присутствовать отражения, характерные для той или иной упорядоченной фазы. Нейтронограммы нанокристаллического порошка показаны на рис. 6.

Съемка нейтронограмм нанокристаллического порошка в излучении  $\lambda = 0.1532$  нм охва-



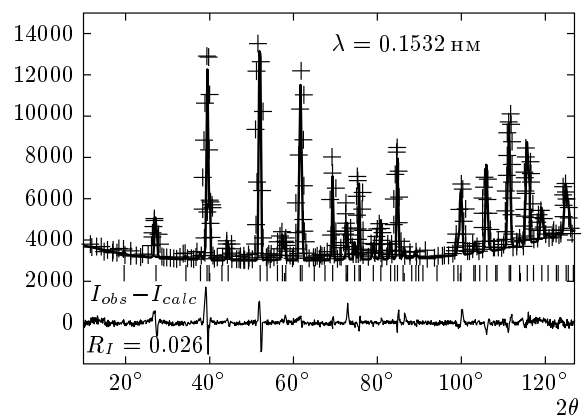
**Рис. 6.** Нейтронограммы ( $\lambda = 0.1532$  нм и  $\lambda = 0.1805$  нм) нанокристаллического порошка, содержащего неупорядоченный низший карбид вольфрама  $W_2C$ , упорядоченный тригональный (пространственная группа  $P\bar{3}1m$ ) карбид  $\varepsilon$ - $W_2C$ , вольфрам и высший карбид вольфрама WC. В нижней части рисунка нейтронограммы показаны как функции межплоскостного расстояния  $d = \lambda/2 \sin \theta$ . На вставке выделен общий для обеих нейтронограмм интервал 0.5 нм  $> d > 0.08$  нм. В области  $2\theta < 33^\circ$  на нейтронограммах видно сверхструктурное отражение  $(011)_\varepsilon$  с  $d \approx 0.3304$  нм, характерное для упорядоченного тригонального карбida  $\varepsilon$ - $W_2C$

тила интервал межплоскостных расстояний  $0.9$  нм  $\geq d \geq 0.09$  нм, а съемка в длинноволновом излучении  $\lambda = 0.1805$  нм позволила охватить более широкий интервал  $1.7$  нм  $\geq d \geq 0.1$  нм. В области  $2\theta < 32^\circ$  на обеих нейтронограммах хорошо видно сверхструктурное отражение  $(011)_\varepsilon$  с  $d \approx 0.3304$  нм, характерное для упорядоченного карбida  $\varepsilon$ - $W_2C$  (рис. 6). В целом нейтронограммы содержат одинаковый набор дифракционных отражений четырех фаз: неупорядоченного низшего гексагонального (пространственная группа  $P\bar{6}_3/tmc$ ) карбida вольфрама  $W_2C$ , упорядоченного тригонального (пространственная группа  $P\bar{3}1m$ ) карбida  $\varepsilon$ - $W_2C$ , металлического вольфрама

W с ОЦК-структурой (пространственная группа  $I\bar{m}\bar{3}m$ ) и гексагонального (пространственная группа  $P\bar{6}m2$ ) монокарбида WC. Отражений орторомбического (пространственная группа  $Pbcn$ ) или ромбоэдрического (пространственная группа  $P\bar{3}m1$ ) упорядоченных карбидов  $\beta'$ -W<sub>2</sub>C и  $\beta''$ -W<sub>2</sub>C не обнаружено.

Для более детального анализа структуры наблюдаемых фаз использовалась нейтронограмма, снятая с большим накоплением сигнала в излучении  $\lambda = 0.1532$  нм. Согласно расчету, содержание найденных кристаллических фаз в нанокристаллическом порошке составляет около 67.5 вес.% W<sub>2</sub>C, 9.8 вес.%  $\varepsilon$ -W<sub>2</sub>C, 14.5 вес.% W и 8.2 вес.% WC. С учетом наличия в нанопорошке свободного углерода содержания фаз равны примерно 65.0 вес.% W<sub>2</sub>C, 9.5 вес.%  $\varepsilon$ -W<sub>2</sub>C, 14.0 вес.% W, 8.0 вес.% WC и 3.5 вес.% C, что согласуется с данными, полученными минимизацией рентгенограммы этого же порошка. Сравнительно малое (около 10 вес.%) содержание в нанокристаллическом порошке упорядоченного карбida  $\varepsilon$ -W<sub>2</sub>C и большое (около 65.0 вес.%) содержание неупорядоченного карбida W<sub>2</sub>C обусловлены тем, что нанопорошок закален от высокой температуры — примерно 2600 K.

Согласно уточнению нейтронограммы с помощью программы GSAS [18], периоды элементарной ячейки монокарбида вольфрама WC равны  $a = 0.2893(8)$  нм и  $c = 0.2818(9)$  нм, а период элементарной ячейки металлического вольфрама равен 0.3155(2) нм. Что касается низшего карбida вольфрама W<sub>2</sub>C, то для неупорядоченной фазы  $a_{L'3} = 0.29947(6)$  нм и  $c_{L'3} = 0.4728(1)$  нм; этим значениям периодов приблизительно соответствует состав WC<sub>0.46</sub>. Для упорядоченной фазы  $\varepsilon$ -W<sub>2</sub>C периоды и объем элементарной ячейки равны  $a_\varepsilon = 0.5152(6)$  нм,  $c_\varepsilon = 0.4681(2)$  нм,  $V_\varepsilon = 107.568 \cdot 10^{-3}$  нм<sup>3</sup>. Таким образом, периоды  $a_\varepsilon$  и  $c_\varepsilon$  немного меньше, чем теоретические значения этих периодов  $a_{\varepsilon\text{ theor}} = a_{L'3}\sqrt{3}$  и  $c_{\varepsilon\text{ theor}} = c_{L'3}$  для идеальной упорядоченной фазы. При минимизации нейтронограммы с учетом упорядоченной фазы  $\varepsilon$ -W<sub>2</sub>C с фиксированными степенями заполнения позиций, равными степеням заполнения в идеальной тригональной сверхструктуре, удалось достичь хорошей сходимости рассчитанного спектра с экспериментальным: фактор  $R_I = 0.052$ . Из-за многофазности образца, большого уширения дифракционных отражений и малого содержания упорядоченного карбida  $\varepsilon$ -W<sub>2</sub>C варьирование степеней заполнения позиций в тригональной сверхструктуре не привело к значимому улучшению сходимости расчетной и



**Рис. 7.** Экспериментальная (+) и расчетная (сплошная линия) нейтронограммы ( $\lambda = 0.1532$  нм) низшего карбida W<sub>2</sub>C, полученного спеканием порошков W и C при температуре 2070 K в течение 10 ч. Длинные и короткие штрихи соответствуют отражениям упорядоченной фазы  $\varepsilon$ -W<sub>2</sub>C и вольфрама W. Внизу показана разница ( $I_{obs} - I_{calc}$ ) между экспериментальной и расчетной нейтронограммами

экспериментальной нейтронограмм.

Для выяснения температурного интервала существования низшего карбida вольфрама W<sub>2</sub>C и упорядоченной фазы  $\varepsilon$ -W<sub>2</sub>C образцы низшего карбida дополнительно синтезировали твердофазным спеканием порошков W и C при температурах 2070 K и 1370 K. Нейтронограмма образца, полученного при температуре 2070 K в течение 10 ч, показана на рис. 7.

Нейтронограмма (рис. 7) содержит набор дифракционных отражений, характерный для упорядоченной тригональной (пространственная группа  $P\bar{3}1m$ ) фазы  $\varepsilon$ -W<sub>2</sub>C; кроме того, присутствуют отражения кубического (пространственная группа  $I\bar{m}\bar{3}m$ ) вольфрама с периодом  $a = 0.31651(1)$  нм. Лучшее совпадение экспериментального и теоретического спектров ( $R_p = 0.0353$ ,  $\omega R_p = 0.0448$ ,  $R_I = 0.0258$ ) было достигнуто при учете разного заполнения позиций неметаллической подрешетки атомами C (табл. 4), причем степень заполнения позиций 1(a) и 2(d) оказалась меньше 1, тогда как небольшое количество атомов углерода находилось на позициях 1(b) и 2(c), которые в идеальной упорядоченной фазе полностью вакантны. Отличие заполнения позиций неметаллической подрешетки от идеальных значений 1 и 0 обусловлено отклонением состава изученного упорядоченного карбida от стехиометрического состава W<sub>2</sub>C и тем, что степень дальнего по-

**Таблица 4.** Реальная структура тригонального (тип  $\varepsilon$ - $\text{Fe}_2\text{N}$ , пространственная группа № 162 —  $P\bar{3}1m$  ( $D_{3d}^1$ )) упорядоченного карбида  $\varepsilon$ - $\text{W}_2\text{C}_y$  ( $Z = 3$ ) до и после отжига

Атом	Позиция и кратность	Карбид $\varepsilon$ - $\text{W}_2\text{C}_y$ , полученный спеканием при $T = 2070$ К в течение 10 ч: $\text{W}_2\text{C}_{0.953}$ , $a_\varepsilon = b_\varepsilon = 0.51813(3)$ нм, $c_\varepsilon = 0.47283(8)$ нм, $V_\varepsilon = 109.932 \cdot 10^{-3}$ нм $^3$	Тот же карбид $\varepsilon$ - $\text{W}_2\text{C}_y$ после отжига при $T = 1370$ К в течение 35 ч: $\text{W}_2\text{C}_{1.00}$ , $a_\varepsilon = b_\varepsilon = 0.51880(2)$ нм, $c_\varepsilon = 0.47273(5)$ нм, $V_\varepsilon = 110.192 \cdot 10^{-3}$ нм $^3$						
		Атомные координаты в упорядоченной структуре			Степень заполнения	Атомные координаты в упорядоченной структуре			
		$x/a_\varepsilon$	$y/b_\varepsilon$	$z/c_\varepsilon$		$x/a_\varepsilon$	$y/b_\varepsilon$	$z/c_\varepsilon$	
C1 (вакансия)	1(b)	0	0	1/2	0.0175	0	0	1/2	0
C2 (вакансия)	2(c)	1/3	2/3	0	0.2656	1/3	2/3	0	0.2316
C3	1(a)	0	0	0	0.7983	0	0	0	0.7253
C4	2(d)	1/3	2/3	1/2	0.7565	1/3	2/3	1/2	0.9093
W	6(k)	0.328(1)	0	0.253(5)	1	0.331(7)	0	0.252(4)	1

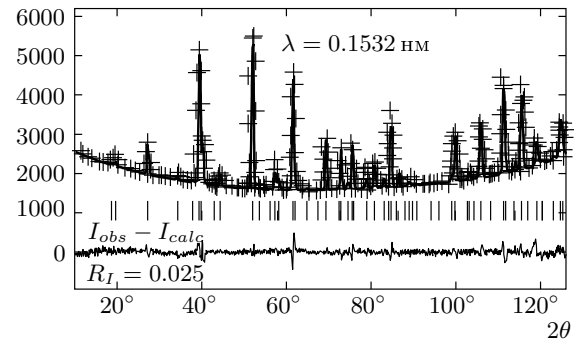
рядка в изученном карбиде меньше максимальной.

Действительно, относительное содержание углерода в упорядоченной тригональной фазе равно  $y = (n_1 + 2n_2 + n_3 + 2n_4)/6$ , где  $n_1, n_2, n_3$  и  $n_4$  — степени заполнения узлов неметаллической подрешетки, находящихся соответственно в позициях 1(b), 2(c), 1(a) и 2(d) (см. табл. 3 и 4). С учетом заполнения позиций (табл. 4) исследованная упорядоченная тригональная фаза  $\varepsilon$ - $\text{W}_2\text{C}$  имеет состав  $\text{W}_2\text{C}_{0.953}$  ( $\text{WC}_{0.48}$ ). Величину параметров дальнего порядка  $\eta_{17}$  и  $\eta_{15}$  можно определить по найденным степеням заполнения с учетом значений, которые принимает функция распределения, описывающая тригональную сверхструктуру  $\varepsilon$ - $\text{W}_2\text{C}$ :

$$\begin{aligned}\eta_{15} &= (n_3 + n_4 - n_1 - n_2)/2, \\ \eta_{17} &= n_1 + 2n_4 - 2n_2 - n_3.\end{aligned}\quad (6)$$

Согласно выполненной оценке параметры дальнего порядка в упорядоченном тригональном карбиде  $\varepsilon$ - $\text{W}_2\text{C}_{0.953}$  ( $\text{WC}_{0.48}$ ), полученным примерно при температуре 2070 К, равны  $\eta_{15} = 0.636$  и  $\eta_{17} = 0.201$ . Периоды и объем элементарной ячейки этого карбида  $\varepsilon$ - $\text{W}_2\text{C}$  равны  $a_\varepsilon = b_\varepsilon = 0.51813$  нм,  $c_\varepsilon = 0.47284$  нм и  $V_\varepsilon = 109.932 \cdot 10^{-3}$  нм $^3$ , т. е. больше, чем периоды  $a_\varepsilon$  и  $c_\varepsilon$  и объем элементарной ячейки этой же упорядоченной фазы в нанокристаллическом порошке.

Образец  $\text{W}_2\text{C}$ , синтезированный при 2070 К в те-



**Рис. 8.** Экспериментальная (+) и расчетная (сплошная линия) нейтронограммы ( $\lambda = 0.1532$  нм) низшего карбида  $\text{W}_2\text{C}$  после дополнительного отжига при 1370 К в течение 35 ч. Длинные и короткие штрихи соответствуют отражениям упорядоченной фазы  $\varepsilon$ - $\text{W}_2\text{C}$  и вольфрама. Внизу показана разница ( $I_{obs} - I_{calc}$ ) между экспериментальной и расчетной нейтронограммами

чение 10 ч, был дополнительно отожжен при температуре 1370 К в течение 35 ч. На нейтронограмме отожженного образца (рис. 8) наблюдается тот же набор дифракционных отражений только двух фаз  $\varepsilon$ - $\text{W}_2\text{C}$  и W, что и на нейтронограмме образца до отжига (см. рис. 7). Отожженный и синтезированный образцы в пределах ошибок расче-

та имеют одинаковый фазовый состав и содержат примерно  $85 \pm 2$  вес.%  $\varepsilon\text{-W}_2\text{C}$  и  $15 \pm 2$  вес.% W. Уточнение структуры упорядоченной фазы в отожженном образце показало, что лучшее совпадение экспериментального и теоретического спектров ( $R_p = 0.0299$ ,  $\omega R_p = 0.0390$ ,  $R_I = 0.0252$ ) достигается при уменьшении заполнения атомами C вакансийных позиций 1(b) и 2(c) и росте заполнения позиций 2(d) (табл. 4). В результате отжига состав упорядоченной фазы изменился от  $\varepsilon\text{-W}_2\text{C}_{0.953}$  ( $\text{WC}_{0.48}$ ) до  $\varepsilon\text{-W}_2\text{C}_{1.00}$  ( $\text{WC}_{0.50}$ ). После отжига параметры дальнего порядка в тригональном карбиде  $\varepsilon\text{-W}_2\text{C}_{1.00}$  увеличились до  $\eta_{15} = 0.702$  и  $\eta_{17} = 0.630$ . Периоды и объем элементарной ячейки отожженного карбида  $\varepsilon\text{-W}_2\text{C}$  немного больше, чем периоды и объем элементарной ячейки этой же упорядоченной фазы до отжига (см. табл. 4). Увеличение периодов обусловлено изменением содержания углерода в упорядоченном тригональном карбиде от  $\text{WC}_{0.48}$  до  $\text{WC}_{0.50}$ .

В целом рентгеновское и нейтронографическое исследования фазового состава и структуры показали, что образец  $\text{W}_2\text{C}$ , синтезированный при  $T \approx 2070$  К, и тот же образец, дополнительно отожженный в течение 35 ч при температуре 1370 К, содержат только упорядоченный тригональный карбид  $\varepsilon\text{-W}_2\text{C}$  и вольфрам W (см. рис. 7, 8). Содержание этих фаз в образце до и после отжига почти одинаково, но после отжига степень порядка в тригональном карбиде  $\varepsilon\text{-W}_2\text{C}$  выросла. Отсутствие на нейтронограмме отожженного образца отражений орторомбической (пространственная группа  $Pbcn$ ) фазы  $\beta'\text{-W}_2\text{C}$  согласуется с результатами работ [11, 13]. В них показано, что орторомбическая фаза  $\beta'\text{-W}_2\text{C}$  со структурой  $\zeta\text{-Fe}_2\text{N}$  наблюдается в образцах  $\text{W}_2\text{C}$  только после отжига при  $T < 1300$  К.

Полная ширина на половине высоты (FWHM) дифракционных отражений на рентгенограммах и нейтронограммах спеченных образцов низшего карбида вольфрама не превышает инструментальной функции углового разрешения  $\text{FWHM}_R$  дифрактометров. Отсутствие уширения означает, что размер доменов упорядоченной фазы  $\varepsilon\text{-W}_2\text{C}$  в спеченных образцах превышает 200–300 нм [22].

Как было отмечено, в упорядоченном тригональном карбиде перпендикулярно направлению  $[001]_\varepsilon$  чередуются неметаллические атомные плоскости  $(00z)_\varepsilon$  с  $z = 0$  и  $z = 1/2$ , различающиеся степенью заполнения атомами углерода (см. рис. 5). Вероятности обнаружения атома углерода в этих плоскостях равны  $n_{z=0} = (2n_2 + n_3)/3$  и  $n_{z=1/2} = (n_1 + 2n_4)/3$ . В неупорядоченной базисной гексагональной фазе  $\beta\text{-W}_2\text{C}$  эти вероятности одинаковы и равны  $1/2$ ,

а в идеальной упорядоченной фазе  $\varepsilon\text{-W}_2\text{C}$  имеем  $n_{z=0} = 1/3$ ,  $n_{z=1/2} = 2/3$ . В карбиде  $\varepsilon\text{-W}_2\text{C}_{0.953}$ , синтезированном при температуре около 2070 К, вероятности составляют  $n_{z=0} = 0.443$  и  $n_{z=1/2} = 0.510$ . После дополнительного отжига в течение 35 ч этого карбида при температуре около 1370 К параметры дальнего порядка  $\eta_{15}$  и  $\eta_{17}$  увеличились, а вероятности  $n_{z=0}$  и  $n_{z=1/2}$  достигли значений 0.396 и 0.606, близких к значениям  $n_{z=0}$  и  $n_{z=1/2}$  в идеальной упорядоченной фазе  $\varepsilon\text{-W}_2\text{C}$ . Из сравнения величин  $n_{z=0}$  и  $n_{z=1/2}$  следует, что при тригональном упорядочении низшего карбида вольфрама происходит перераспределение атомов углерода между соседними неметаллическими атомными плоскостями  $(00z)_\varepsilon$  с  $z = 0$  и  $z = 1/2$ .

Для рассмотренных упорядоченных фаз и соответствующих им функций распределения зависимость максимальной величины параметра дальнего порядка от состава нестехиометрического карбида  $\text{W}_2\text{C}_{y'} \equiv \text{WC}_y$ , где  $y \leq 0.5$ , имеет вид

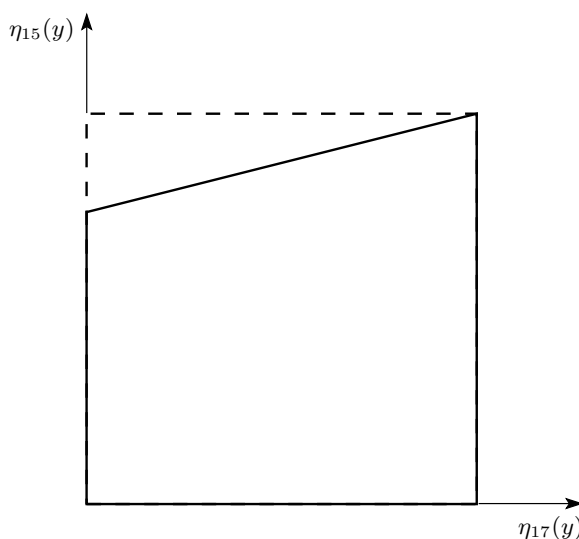
$$\eta^{max}(y) = \begin{cases} 2(1-y), & \text{если } y \geq 0.5 \\ 2y, & \text{если } y < 0.5. \end{cases} \quad (7)$$

Поскольку зависимость максимального значения любого параметра дальнего порядка от состава карбида  $\text{WC}_y$ , упорядочивающегося по типу  $\text{W}_2\text{C}$ , определяется уравнением (7), а минимальная величина параметров порядка равна нулю, для любого параметра порядка, описывающего рассмотренные сверхструктуры, выполняется условие

$$0 \leq \eta_s \leq m^*, \quad (8)$$

где  $m^* = 2(1-y)$ , если  $y \geq 0.5$ , и  $m^* = 2y$ , если  $y < 0.5$ .

Условие (8) однозначно определяет одномерные области допустимых значений параметров порядка сверхструктур, которые описываются одним параметром  $\eta_s$ . Тригональная фаза  $\varepsilon\text{-W}_2\text{C}$  описывается функцией распределения (5), зависящей от двух параметров дальнего порядка  $\eta_{17}$  и  $\eta_{15}$ . В случае сверхструктур, описываемых несколькими параметрами дальнего порядка, нужно дополнительно учитывать, что значения функции распределения всегда лежат между 0 и 1. С учетом значений функции распределения (табл. 3) и отмеченных ограничений область допустимых значений параметров дальнего порядка  $\eta_{17}(y)$  и  $\eta_{15}(y)$  для тригональной (пространственная группа  $P\bar{3}1m$ ) сверхструктуры  $\varepsilon\text{-W}_2\text{C}$  определяется условиями



**Рис. 9.** Двумерная область допустимых значений параметров дальнего порядка для тригонального (пространственная группа  $P\bar{3}1m$ ) упорядоченного карбида вольфрама  $\varepsilon\text{-W}_2\text{C}$

$$\begin{aligned} -m^* \leq -\eta_{17}(y) + 4\eta_{15}(y) &\leq 3m^*, \\ 0 \leq \eta_{17}(y) &\leq m^*. \end{aligned} \quad (9)$$

Область допустимых значений параметров  $\eta$  для тригональной упорядоченной фазы  $\varepsilon\text{-W}_2\text{C}$  показана на рис. 9.

## 5. ЗАКЛЮЧЕНИЕ

Проведенный эксперимент показал, что низший карбид вольфрама  $\text{W}_2\text{C}$  термодинамически стабилен от температуры плавления  $T \approx 3050$  К до  $T = 1370$  К и в этой области температур не испытывает распада. В интервале температур примерно от 2700 К до 1370 К единственной упорядоченной фазой низшего карбида вольфрама  $\text{W}_2\text{C}$  является тригональная (пространственная группа  $P\bar{3}1m$ ) фаза  $\varepsilon\text{-W}_2\text{C}$ . Следов упорядоченной орторомбической (пространственная группа  $Pbcn$ ) фазы  $\beta'\text{-W}_2\text{C}$  даже после длительного отжига при  $T = 1370$  К не обнаружено.

Таким образом, экспериментально и теоретически реализуется следующая последовательность фазовых превращений: гексагональная (пространственная группа  $P6_3/mmc$ ) неупорядоченная фаза  $\beta\text{-W}_2\text{C} \rightarrow$  тригональная (пространственная группа  $P\bar{3}1m$ ) упорядоченная фаза  $\varepsilon\text{-W}_2\text{C}$ . Возможно, что при температуре ниже 1370 К происходит переход от тригональной фазы  $\varepsilon\text{-W}_2\text{C}$  к орторомбической

(пространственная группа  $Pbcn$ ) фазе  $\beta'\text{-W}_2\text{C}$ , что не противоречит теоретически допустимой последовательности фазовых превращений. Экспериментально о таком превращении свидетельствуют результаты работ [11, 13].

Авторы благодарят И. Ф. Бергера за помощь в нейтронографических измерениях. Работа выполнена при финансовой поддержке РФФИ (гранты №№ 06-03-32047а, 07-03-96066а) и Фонда содействия отечественной науке.

## ЛИТЕРАТУРА

1. A. I. Gusev, A. A. Rempel, and A. A. Magerl, *Disorder and Order in Strongly Nonstoichiometric Compounds. Transition Metal Carbides, Nitrides, and Oxides*, Springer, Berlin–Heidelberg–New York–London (2001).
2. А. И. Гусев, *Нестехиометрия, беспорядок, близкий и дальний порядок в твердом теле*, Физматлит, Москва (2007).
3. A. I. Gusev and A. A. Rempel, Phys. Stat. Sol.(a) **135**, 15 (1993).
4. А. И. Гусев, УФН **170**, 3 (2000).
5. А. С. Курлов, А. И. Гусев, Успехи химии **75**, 687 (2006).
6. K. Yvon, H. Nowotny, and F. Benesovsky, Monatsh. Chemie **99**, 726 (1968).
7. E. Rudy and S. Windisch, J. Amer. Ceram. Soc. **50**, 272 (1967).
8. E. Rudy and J. R. Hoffman, Planseeber. Pulvermet. **15**, 174 (1967).
9. Л. Н. Буторина, З. Г. Пинскер, Кристаллография **5**, 585 (1960).
10. В. С. Телегус, Е. И. Гладышевский, П. И. Крипякевич, Кристаллография **12**, 936 (1967).
11. В. С. Телегус, Ю. Б. Кузьма, М. А. Марко, Порошк. металлургия № 11, 56 (1971).
12. J. Dubois, T. Epicier, C. Esnouf, G. Fantozzi, and P. Convert, Acta Metallurg. **36**, 1891 (1988).
13. T. Epicier, J. Dubois, C. Esnouf, G. Fantozzi, and P. Convert, Acta Metallurg. **36**, 1903 (1988).
14. A. Harsta, S. Rundqvist, and J. O. Thomas, Acta Chem. Scand. A **32**, 891 (1978).

15. B. Lönnberg, T. Lundström, and R. Tellgren, J. Less-Common Metals **120**, 239 (1986).
16. T. Epicier, J. Dubois, C. Esnouf, and G. Fantozzi, Compt. Rend. Acad. Sci. Paris. Ser. II **297**, 215 (1983).
17. В. З. Кублий, Т. Я. Великанова, Порошк. металлургия № 11/12, 101 (2004).
18. A. C. Larson and R. B. von Dreele, Los Alamos National Laboratory Report LAUR 86-748. Los Alamos (2004).
19. B. E. Warren, B. L. Averbach, and B. W. Roberts, J. Appl. Phys. **22**, 1493 (1951).
20. О. В. Ковалев, *Неприводимые и индуцированные представления и копредставления федоровских групп*, Наука, Москва (1986).
21. А. Г. Хачатуян, *Теория фазовых превращений и структура твердых растворов*, Наука, Москва (1974).
22. A. I. Gusev and A. A. Rempel, *Nanocrystalline Materials*, Cambridge Intern. Science Publ., Cambridge (2004), p. 149.